

V-23 アスファルト混合物の引張試験に関する基礎的研究

| | | |
|---------|-----|---------|
| 北海道工業大学 | 正員 | ○ 小山 泥舟 |
| " | 学生員 | 西田 卓裕 |
| " | " | 横尾 敏文 |
| 杉原建設(株) | 正員 | 川口 雄輔 |
| 北海道工業大学 | 正員 | 間山 正一 |

1. 概説

アスファルト舗装の力学的挙動を論ずる場合に、表層材料に主として使用されるアスファルト混合物の力学的性状を明らかにすることは重要な課題の一つである¹⁾。アスファルト混合物の力学的性状を舗装の Distress Mode と対応させて論ずる方法はすでに定着しつつあり、多くの研究者によって提唱され、個々の分岐テーマについて発表されているが、その大半は曲げ試験によるものであり、たとえば引張試験や三軸試験的手法を用いて舗装材料の力学的性状、舗装体の力学的挙動を論じた成果は少ないのが現状である^{2)~4)}。曲げ試験による研究手法はデータの蓄積が多いこと、比較的簡便に実験を行なえること、合理的な手法であること等、多くの利点をもっている事は否定できない。他方、材料の基礎的力学的性状を多角的に評価する必要性、舗装体の力学的挙動に関連づけて材料性状(混合物の力学的性状)を論ずる場合に単純曲げ引張試験が重要な位置を占める場合等を考慮され(たとえば、熱応力問題を論ずる場合に、曲げのみによらず引張に関する材料性状の把握が重要であると考えられる)、これららの理由からアスファルト混合物の引張特性を明らかにすることは重要であろう。

本稿は主としてアスファルト混合物の引張破壊性状を明らかにすることを目的としており、より信頼度の高いデータを得るために各種の治具、各種の測定方法を選択し、それらの方法によって得られたデータの違いについて検討するものである。ストレートアスファルトをバインダーとし、密粒度アスファルトコンクリート配合の粒度配合としている。なお、温度およびひずみ速度を変化させ、それをロジー性状についても論ずる。

2. 実験材料と供試体作製方法

2-1 実験材料

本研究に用いたアスファルトセメント(バインダー)の針入度、軟化点(環球式)、針入度指数を表-1に示す。表-1にはまた、骨材の粒度配合を示したが、密粒度アスファルトコンクリートの配合⁵⁾としている。

表-1 アスファルトの物理性状
と骨材の粒度配合

| 骨材 | 量比 |
|---------|-----------|
| 砂(港) | 57 |
| 砂二段 | 13 |
| 粗目砂 | 13 |
| 細目砂 | 8 |
| フィラー | 9 |
| アスファルト量 | 5.8% |
| ストレートアス | Rm 77 |
| | Rab 47.5 |
| | P.I. -0.7 |

2-2 供試体作製方法

140 °C に加熱したバインダー(粘度に換算して 3 poises)をあらかじめ同温度に加熱してある所定の粒度配合をもつ骨材とミキサで 3 分間混合する。30 × 30 × 5 cm の鉄型枠に入り、混合物(合材)温度が 103 °C (粘度に換算して 30 poises)になった後、ローラーコンパクタで所定の回数を転圧する。約 24 時間、室内(平均温度 18 °C)に放置した後、恒温室内でニーディング作用を与える。混合物の冷却を待って、ダイヤモンドカッタにて所定寸法の供試体を切り出す。

供試体寸法は 3 種類とし、3 × 3 × 25 cm, 3 × 3 × 15 cm.

$3 \times 1.5 \times 15$ cm の角型棒状供試体である。供試体へ切り出しの例を図-1に示す。

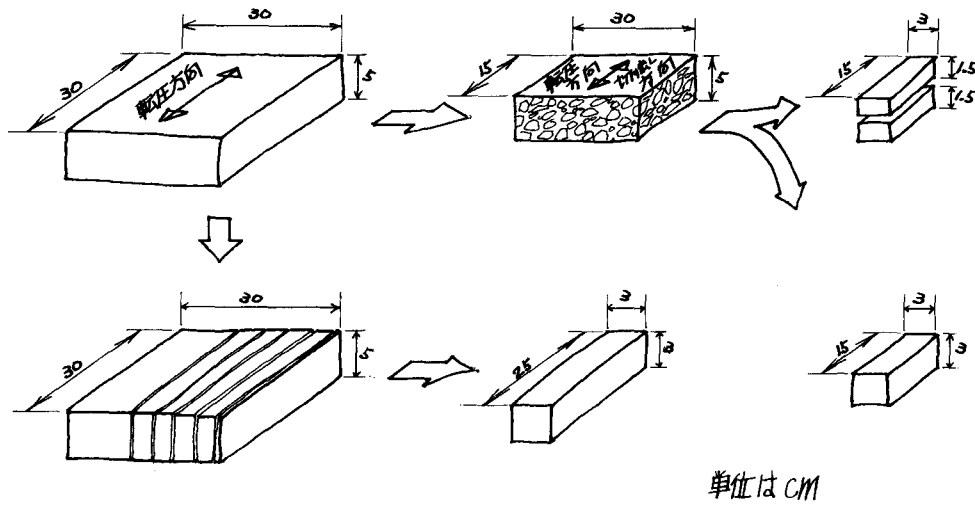


図-1 供試体切り出しの概略図

いままでの供試体も二ーディング方向に骨材が並んでおり、空隙率も3~4%の中にほぼ入っている。本研究においては $3.5 \pm 0.5\%$ の空隙率をもつ供試体のみを実験に使用した。

3. 試験装置と試験方法

3-1 試験研究

二種の実験研究を行なう場合、定ひずみ速度試験、定荷重速度試験等の方法があるが、本実験研究においては比較的手順が容易である定ひずみ速度試験による手法を用いて引張試験を行なった。載荷装置はインテスコ(株)製電気油圧式制御方式の動的・静的試験機を用いた。本試験機の概要を以下に示す。

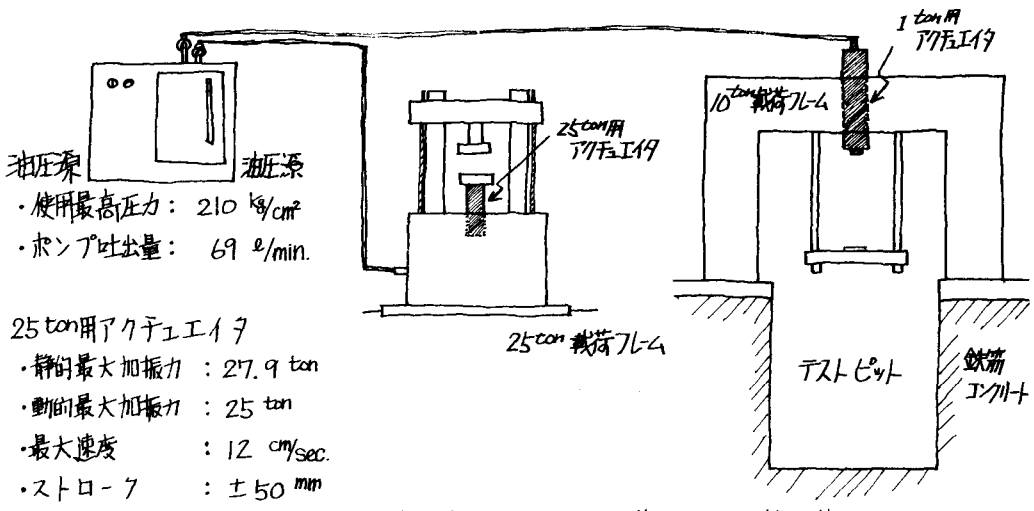


図-2 インテスコ型動的・静的試験機の概要

本実験研究においては、恒温室（-20°C～+70°C、プログラム設定による温度制御が可能）内にテストピット用載荷フレーム（10ton）に剛り付けて1ton用載荷フレーム（アタッチメント）に治具を取り付けて実験を行った。なお、供試体の養生は恒温水槽2台（室温～+100°C±0.1°Cおよび恒温～-20°C±0.1°Cの制御が可能）を用いて行なったが、治具への供試体の取り付けに時間がかかることから、恒温室内の温度を試験温度と一致させた。

また、本試験機は従来の動的試験機の場合ランプ入力を利用して静的試験を行なっている点を改良して、静的試験とモードのコントロール部を取り付ける同時に、動的出力と静的出力を合成する事も可能。

3-2 試験方法

アスファルト混合物の力学的性状を検討する場合、使用する治具、試験方法によって得られるデータへ信頼度が大きく異なってくる。本研究においては、この点に着目して、次の方法について先行実験を行なった。

- 1) 3×3×25 cmの角型棒状供試体の両端にエポキシ樹脂を塗布し、鉄板と接着した後2日後（エポキシ樹脂が硬化完了）に治具に取り付ける方法（スパン：25 cm）……写真2
- 2) 1)の方法と同様であるが供試体の長さを15 cmとする方法（スパン：15 cm）
- 3) 1)の方法にストレングージを取り付ける方法（スパン：25 cm）
- 4) 3×1.5×15 cmの角型棒状供試体の両端3.5 cmにエポキシ樹脂を塗布して補強し、直接治具でつかむ方法（スパン：8 cm）
- 5) 4)の方法にストレングージを取り付ける方法……写真-3
- 6) 3×3×25 cmの角型棒状供試体の両端5 cmにエポキシ樹脂を塗布して補強し、直接、治具（4）および5）の治具とは異なる）でつかむ方法（スパン：15 cm）……写真-4

4. 実験結果と考察

1)～6)の方法を用いて
0°C、20°C、40°Cの
温度条件、ひずみ速度

$6.25 \times 10^6 (\text{sec}^{-1})$ の条件で
行なった予備実験の結果
うち、応力とひずみの
関係（破壊包絡線）を図
-3に示す。

なお、応力とひずみの
定義はそれぞれ、（荷重
kg）/（もじり断面積cm²）

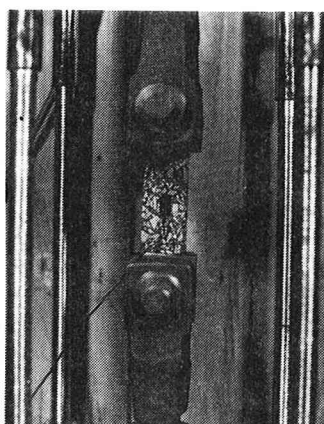


写真-3

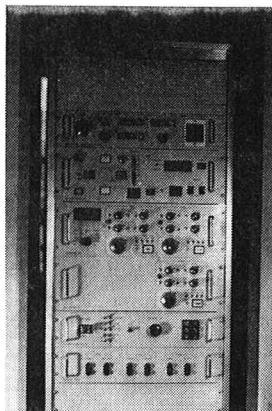


写真-1 ハンセン型動的静的試験機制御部

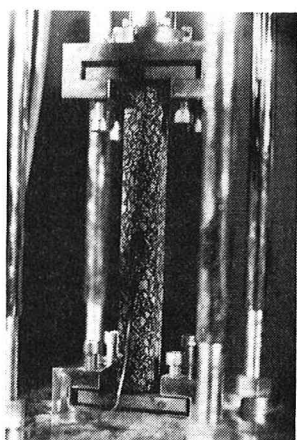


写真-2

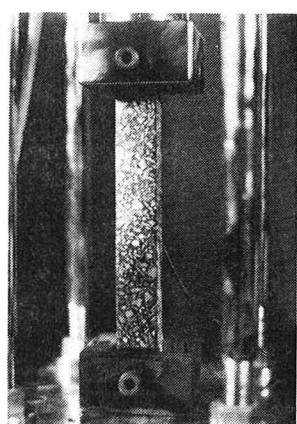


写真-4

、(変形量 cm)/(もとのスパン cm)で定義される。図-3は予備実験で得られた引張強さと破壊時のひずみの関係は予備実験で 6.25×10^{-3} (sec⁻¹)の場合について示した図である。図上に番号は3-2でその中の実験方法について説明した番号と同一である。非線形領域における応力とひずみの関係のため、実験値のバラツキが大きく、とくに高温(40°C)におけるひずみが著しい。ストレンゲージを用いた場合(3)および(5)にはとくに最確値が得られていないが、これは供試体の異方性、不均一性、接着面の相違(骨材分が多いか、バインダー分が多いか)などによるものと考えられる。高溫時にはストレンゲージを用いた場合にとくにバラツキが大きいが、これは上記の理由によるものと考えられ、この方法の不適性を意味するものではあるまい。

供試体の形状による差はとくにある傾向を示す程顕著ではない。断面積に対する軸方向の長さが大きいため、末端効果などが見られなかつたためと思われる。

図-4はストレートアスファルト混合物について、温度およびひずみ速度を変化させて実験を行なった結果得られた引張強さと破壊時のひずみの関係(破壊包絡線)を示す。破壊時のひずみの変化は小さく、むしろ引張強度の変化が目めて著しいことわかる。若干バラツキが大きいが、破壊包絡線と若えてもさしつかえないと思われる。

5. 結論

1) 供試体形状、治具、ひずみ入力方法を変えて定ひずみ速度引張試験を行なった。これらの条件と混合物の力学的性状との間に顕著な関係は見られない。

2) 温度およびひずみ速度に著しく依存する力学的性状が得られた。

参考文献

- Monismith, C.L., and Finn, F.N.: Flexible pavement design State of the Art, Transportation Engineering Jour. 12B63, A.S.C.E., 1975.
- Michael, E.N., TRRL LR870, 1978.
- R.T.N. Goddard et al, TRRL SR410, 1978
- 間山正一, 第19回材料研究連合講習会, 1975.
- 日本道路協会, アスファルト舗装要綱, 1979.

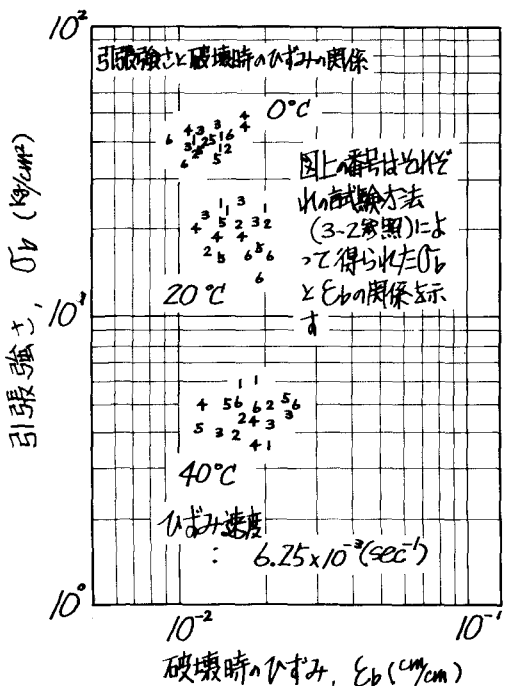


図-3 予備実験で得られた引張強さと破壊時のひずみの関係

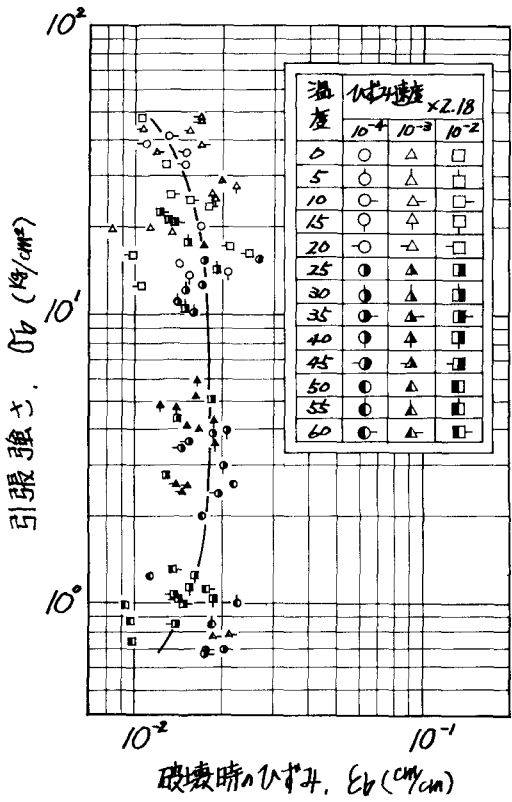


図-4 ストレートアスファルト混合物の引張強さと破壊時のひずみの関係